

九州大学 正員 松下博通
 学生員 牧角龍憲

1, まえがき

コンクリートには、空水隙や骨材周辺のフラックなどの微小な欠陥部が潜在し、それら欠陥部からのき裂の発生によりコンクリートの破壊が開始する。本文は、微小欠陥部をスリットでおきかえることにより観察した、き裂の発生伝播に関し考察を行なったものである。

2, き裂の発生

欠陥部周辺の応力の理論解として、欠陥部を楕円形とし、 σ_1 が作用したときの楕円周上の tangential stress σ_θ は、(図-1)

$$\sigma_\theta = \sigma_1 \frac{1-m^2+2m \cos 2\theta - 2 \cos 2(\theta+\alpha)}{1-2m \cos 2\theta + m^2} \dots (1) \quad m = \frac{a-b}{a+b}, \alpha: \sigma_1 \text{ と楕円長軸のなす角}$$

θ : 楕円上の点を示すパラメーター

と Mascha/shvili により報告されている。 σ_θ が最大引張応力を生ずる点においてき裂は発生するが、その時の θ は $\frac{\partial \sigma_\theta}{\partial \theta} = 0$ より

$$\theta = \tan^{-1} \left[\frac{b - a \tan^2 \theta \pm m c a \sqrt{a \tan^2 \theta + b^2}}{(a+b) \tan \theta} \right] \dots (2)$$

となる。そのときの σ_θ を図-2 に示す。ここで筆者らは、モ

ルタル供試体(寸法 $8 \times 10 \times 20 \text{ cm}$) 内に楕円形状の単一スリット ($2a=3 \text{ cm}$, $2b=0.3 \text{ cm}$) を入れ、圧縮試験を行ない、き裂の発生状況を観察した。

3, スリットからのき裂の発生

1) 実験概要 モルタルの配合は $w:c:s = 0.6:1:2$ とし、砂は豊浦標準砂セメントは普通型ポルトランドセメントを用いた。スリット端の形状を3種類(図-3)とし、 α を 22.5° づつ変化させた。加圧板と載荷面の間にはシリコングリスを塗布して摩擦を減じ、き裂の検出はフラクチャーメーターにより行ない、き裂発見のため水で濡れた石膏を供試体表面に塗布した。無スリット供試体による圧縮強度は $\sigma_c = 99 \text{ kg/cm}^2$ であった。

2) 結果および考察 実験結果を図-4~図-6に示す。図-5の σ_1 はスリット

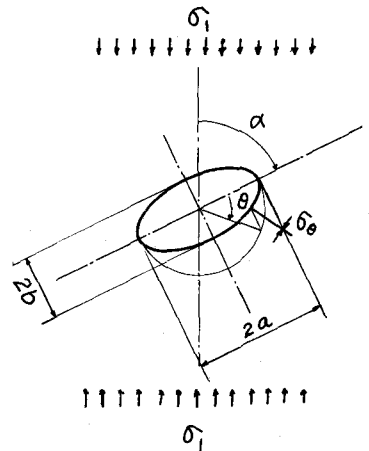


図-1. 楕円ひびわれ周面の tangential stress

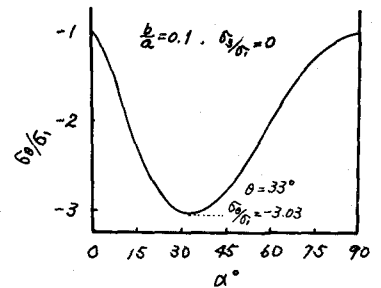


図-2. α による $\sigma_{\theta \max}$ (引張) の変化

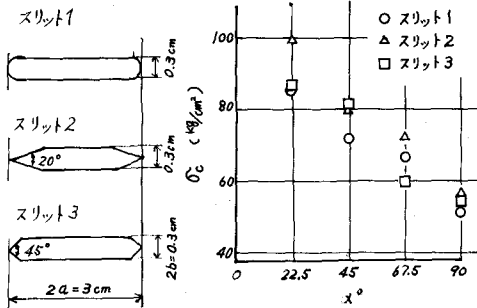


図-3. スリットの形状

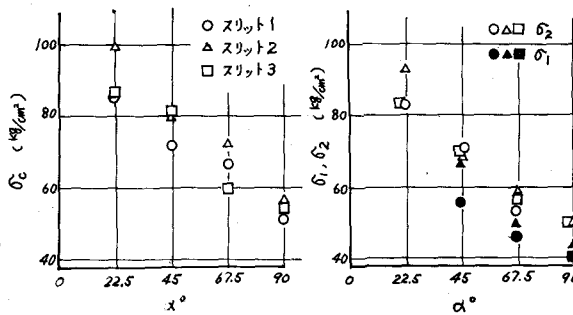


図-4. 左積強度 σ_c

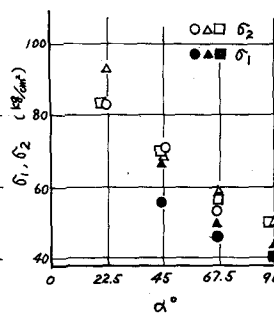


図-5. き裂の発生応力 σ_1
 き裂の連結応力 σ_2

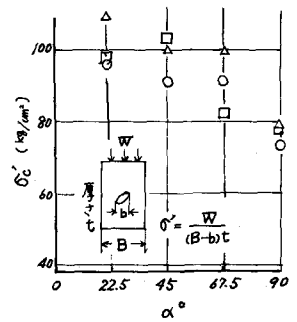


図-6. スリットによる断面減少を考慮した圧縮強度 σ'_c

トから初き裂が発生した応力、 σ_{2r} はスリットからのき裂が他のクラックと連結した、あるいは一

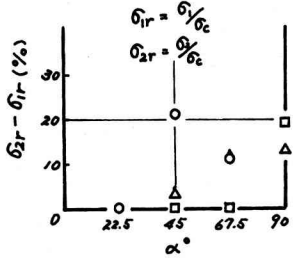


図-7. (き裂が発生直前) G_1/G_c と (き裂が連結直前) G_2/G_c との差

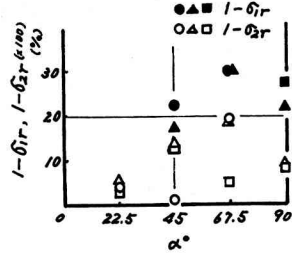


図-8. $1-\sigma_{1r}, 1-\sigma_{2r}$

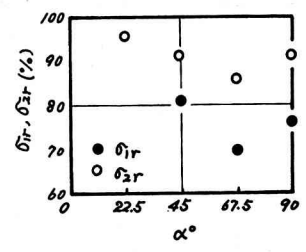


図-9. スリットの σ_{1r}, σ_{2r} の平均

にのみ始めた応力を示すものである。図-6は、スリットの荷重軸に垂直な長さが強度に影響する

とした場合を示すものである。本実験の範囲内では、き裂発生に関し、次にあげる傾向がみられた。



(1) 圧縮強度、き裂発生応力ともにスリット端の形状による差異はなく、 α が増大するにつれ、ほぼ直線的に減少した。

図-6において、 α が45以下ではほぼ同一強度を示し、無スリット供試体の圧縮強度に近づいた。

(2) α が大きくなると初き裂は低応力にて入るが、破壊にあずむつき裂連結までの間隔は大きくなっており、き裂の連結は α に関係なく、応力比で90%付近で生じた。(3) 圧縮応力場でき裂が発生した場合、き裂は荷重軸に平行にのみ、応力集中を減じながら継続的に進行するとされているが、図-10, 写真-1に示されるように、き裂が長軸となす発生角はかなりのばらつきはあるが、ほぼ荷重軸に平行となる角度で発生、進行している。(4) き裂の発生位置は α が大きくなるほど(2)式による理論値と差を生じた。また初き裂後のき裂の発生位置は α が大きくなるほど θ が変化し、 $\alpha=90^\circ$ では、ほぼ 90° 遠く位置から発生した。(5) α が小さいほどき裂の連結応力と圧縮強度に差がなく、き裂幅も大きい。

以上まとめると、き裂応力にはスリットの形状よりも傾角 θ 、また、供試体の寸法に対するスリットの大きさが影響するものと思われる。

代わりに、本実験を担当して頂いた鹿弘健二氏(現大林組)に深く感謝の意を表します。

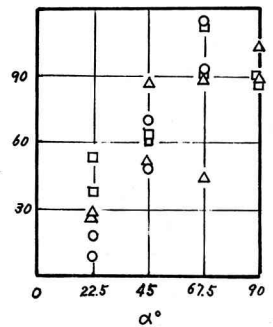


図-10. き裂が長軸となす角 θ

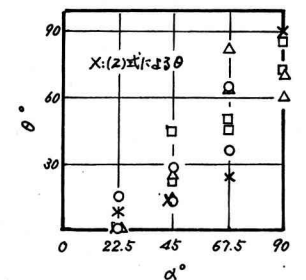


図-11. θ

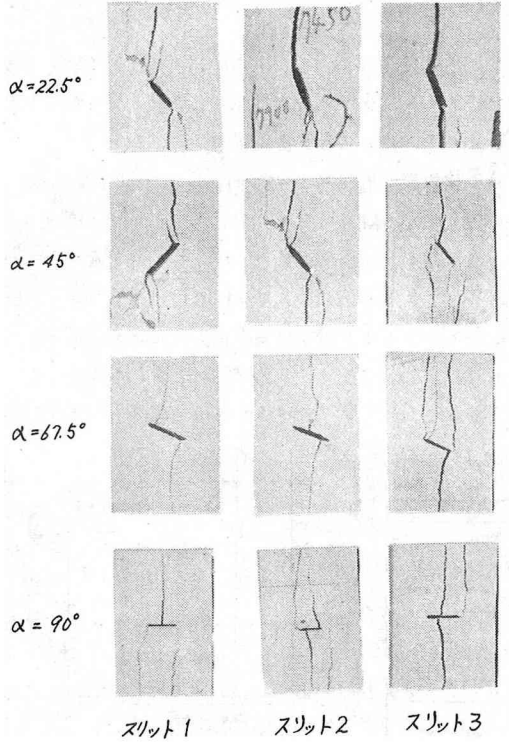


写真-1. スリットからのき裂の発生状況

参考文献・小林昭：コンクリートの破壊機構、コンクリート vol.13, No.2, Feb 1975
 ・S. Uribe Remon: Brittle and Plastic Failure of Beams, Proc. 2nd Congress, Int. Soc. Rock Mech., Bogota, 1970